



## CRYPTXXX V3 – Analiza użytego mechanizmu szyfrowania

MICHAŁ GLET

Wojskowa Akademia Techniczna, Wydział Cybernetyki, Instytut Matematyki i Kryptologii,  
00-908 Warszawa, ul. gen. S. Kaliskiego 2, [michal.glet@wat.edu.pl](mailto:michal.glet@wat.edu.pl)

**Streszczenie.** Celem artykułu jest analiza sposobu działania złośliwego oprogramowania typu ransomware w kontekście wykorzystywanych mechanizmów kryptologicznych. Inżynierii wstecznej poddana zostaje najnowsza w danym momencie wersja oprogramowania CryptXXX. Odkryte zostają wykorzystywane mechanizmy kryptograficzne, wskazane zostają ich słabości oraz możliwości poprawy.

**Słowa kluczowe:** ransomware, inżynieria oprogramowania, inżynieria wsteczna, RC4, RSA, złośliwe oprogramowanie

**DOI:** 10.5604/12345865.1228958

### 1. Opis problemu

Jest piątek, 20.05.2016 r., parę minut po godzinie 10. W biurze panuje względny spokój. Nagle do open space'u wchodzi znajomy, szybkim i nerwowym krokiem zmierza w kierunku kolegi. W ręku trzyma pendrive'a. Z rozmowy wynika, że potrzebuje aktualnych plików projektu, bo jego zostały zaszyfrowane. Pliki te mają pomóc w odszyfrowaniu zawartości. Znowu zapada spokój. Po chwili okazuje się, że skopiowane pliki nic nie dały — deszyfrator nie odnalazł klucza. Zaczyna się delikatna panika, wszyscy dostają maila z zaleceniem, aby pobrać oprogramowanie Symanteca i przeskanować natychmiast komputery. Zalecenie mówi również o utworzeniu backupu. Mijają kolejne godziny. Ponownie pojawia się znajomy z pytaniem, czy ktoś ma bitcoiny. Potrzeba 1,2 bitcoina na „okup”. Po ich przelaniu na wskazany adres twórcy wirusa mają udostępnić klucz szyfrujący oraz oprogramowanie odszyfrowujące. Trwa poszukiwanie kryptowaluty. Około godziny 16 kryptowalutowy

okup zostaje przelany na wskazany adres. Teraz wystarczy poczekać 30-40 minut na kilka potwierdzeń transakcji i po problemie — będzie klucz i oprogramowanie. Sytuacja wydaje się być opanowana, choć pewien niesmak pozostaje — w końcu kryptowaluta przekazana została cyberprzestępcom. Kończy się dzień pracy, zaczyna się weekend. Wszystko jak co tydzień, z jedną drobną różnicą — około godziny 19 dostaję SMS od znajomego o treści „Decrypt error – 4. :(”. Czyli mamy problem — wiele dokumentów i projektów być może zostało właśnie bezpowrotnie straconych, gdyż nie było ich backupów.

Tak właśnie rozpoczęła się moja przygoda z oprogramowaniem CryptXXX w wersji 3. Chciałem pomóc koledze i przy okazji zobaczyć, jak tego typu oprogramowanie jest zbudowane, jak działa oraz jakie algorytmy kryptograficzne zostały w nim użyte. Ciekawił mnie też sposób zastosowania algorytmów kryptograficznych. Powszechnie wiadomo, że nieprawidłowe zastosowanie nawet najbezpieczniejszego algorytmu może być przyczyną kompromitacji systemu. I tak zapewne złamane zostały poprzednie wersje CryptXXX, dla których istnieją bezpłatne deszyfratory, udostępniane przez twórców oprogramowania antywirusowego.

Poprosiłem zatem o podesłanie kilku par plików (plik zaszyfowany, plik oryginalny), otrzymanego klucza oraz programu deszyfrującego.

## 2. Analiza

Analizę rozpocząłem 20.05.2016 około godziny 21. Z uwagi, że korzystam z systemu operacyjnego OS X, całą analizę przeprowadziłem na systemie operacyjnym Windows 7 pracującym w środowisku wirtualnym VirtualBox. Numerację będę zaczynał od 0. Korzystał będę z notacji hexadecymalnej. Dzięki temu będzie można łatwiej odnosić opisy do rysunków oraz kodów źródłowych.

### 2.1. Analiza otrzymanych par plików

Pracę rozpocząłem od analizy otrzymanych par plików. Każda para składała się z pliku zaszyfowanego oraz pliku oryginalnego (przed zaszyfowaniem). Do analizy wykorzystałem narzędzie Notepad++ z dodatkową wtyczką Hex-Editor. Poniżej prezentuję zawartość binarną pliku oryginalnego (gif) oraz pliku zaszyfowanego.

| Address  | 0  | 1  | 2  | 3  | 4  | 5  | 6  | 7  | 8  | 9  | a  | b  | c  | d  | e  | f  | Dump              |
|----------|----|----|----|----|----|----|----|----|----|----|----|----|----|----|----|----|-------------------|
| 00000000 | 47 | 49 | 46 | 38 | 39 | 61 | 08 | 00 | 08 | 00 | d0 | 90 | 01 | 00 | d0 | be | GIF89a....D...DI  |
| 00000010 | d0 | be | d0 | be | c2 | a4 | c2 | a4 | c2 | a4 | 21 | d1 | 89 | 04 | 01 | 0a | DIIDIÎ=Î=Î=ÎÎ%... |
| 00000020 | 00 | 01 | 00 | 2c | 00 | 00 | 00 | 00 | 08 | 00 | 08 | 00 | 00 | 02 | 0d | 04 | .....             |
| 00000030 | 12 | d0 | 96 | d0 | aa | d0 | 97 | 0f | d0 | b3 | 63 | e2 | 80 | 98 | 31 | d0 | .D-ÐŞÐ-.Đícâ€.1Đ  |
| 00000040 | 99 | 5f | 01 | 00 | 3b |    |    |    |    |    |    |    |    |    |    |    | ™_..;             |

Rys. 1. Plik oryginalny

| Address  | 0  | 1  | 2  | 3  | 4  | 5  | 6  | 7  | 8  | 9  | a  | b  | c  | d  | e  | f  | Dump                    |
|----------|----|----|----|----|----|----|----|----|----|----|----|----|----|----|----|----|-------------------------|
| 00000000 | 57 | 34 | 4e | c7 | 24 | 60 | e3 | fd | 70 | 34 | c6 | 2c | 2e | 8b | 11 | 01 | W4NÇS`šyp4Ć, < . .      |
| 00000010 | 41 | 5a | df | a8 | d4 | 84 | 86 | dc | 9a | f7 | 23 | fc | f6 | a9 | 73 | 40 | AZB`Ô„tUš-#uó@e@        |
| 00000020 | ea | 60 | 58 | ec | 8b | 91 | 8d | 38 | 83 | eb | 19 | cf | ff | 58 | 9c | c6 | ę`Xě<`.8ě.Đ`XśĆ         |
| 00000030 | 1b | 8d | 06 | 3f | b8 | a3 | c2 | 54 | 52 | c7 | 04 | c9 | 97 | 2a | 89 | 5a | . . . ? , LĀTRÇ. Ę- *%Z |
| 00000040 | 26 | b3 | 53 | 74 | 10 | 3e | 3c | b9 | b1 | c8 | dc | 69 | 8d | fc | f5 | eb | €İst.> < aİČŪi. uóě     |
| 00000050 | 61 | 29 | 1d | 2f | 18 | 3c | a3 | 4f | 0a | d6 | 78 | 4c | 1f | 43 | 5f | 3c | a) ./ < ŁO. ŌxL.C_ <    |
| 00000060 | 03 | 8a | e7 | a2 | b8 | 1f | 2d | 2a | 5f | 39 | 23 | e3 | 47 | cc | 03 | f9 | .šç` , . - * _9#šGĚ. ů  |
| 00000070 | 9e | 27 | e4 | ef | aa | f2 | 59 | ca | c8 | c1 | eb | d9 | a3 | 65 | 88 | 90 | ž`adšňYĚČÁšŪZe.         |
| 00000080 | e8 | 03 | 00 | 00 | b7 | bc | a6 | 96 | 36 | 00 | 00 | 00 | 00 | 00 | 00 | 00 | č. . . `Eİ-6. . . . .   |
| 00000090 | 80 | 00 | 00 | 00 | 00 | 00 | 00 | 00 | 00 | 80 | de | bc | 9c | 68 | f8 | 49 | € . . . . . eTŁšhřIC    |
| 000000a0 | d1 | 69 | 0d | 84 | 48 | 88 | 64 | 6a | dc | f2 | 16 | 09 | af | dd | ee | c9 | Ńi. „HdjŮŃ. . žYİĚ      |
| 000000b0 | 4a | 04 | 31 | 5a | 26 | 0e | d6 | 3f | 8f | 08 | d2 | e0 | df | af | b9 | b6 | J. İzē. Ō?. ŃřšžāŹ      |
| 000000c0 | cb | 45 | 1d | b6 | a1 | 2b | 5a | 26 | f1 | a4 | fa | 86 | 25 | 02 | 2a | 37 | BE. Ź`+zēñ=ú†. *7       |
| 000000d0 | 10 | c2 | 8d | 3a | 57 | 9b | 74 | a2 | cf | fc | 7e | f0 | 81 | 12 | cd | bc | . Ā. : w†`Đu~d. İL      |
| 000000e0 | 7f | 06 | fe | 75 | 94 | c2 | ca | 83 | e8 | e3 | 40 | 27 | c6 | 67 | 32 | c1 | . . Źu`ARčš@`Čg2Ā       |
| 000000f0 | 54 | 01 | 12 | 27 | f6 | af | 02 | c3 | 28 | c9 | 0a | 28 | f7 | bd | 5b | 05 | T. . `šž. Ā (Ě. (÷`[.   |
| 00000100 | d9 | 4b | a8 | 37 | fc | 5d | 36 | 3d | 63 | 23 | 63 | e0 | 2a | 0d | bf | 1f | ŮK`7u)6=c#čř*.ž.        |
| 00000110 | a0 | f9 | b7 | f1 | 8f | 77 | 15 | fd | b1 | 13 | 83 | bf | ba | e3 | 20 | 1d | . ů`ñ. w. ý†. žšā .     |
| 00000120 | bd | 76 | 5e | 8e | 96 | e5 | 2b | fa | 1b | 81 | 09 | 89 | d0 | 2e | 97 | e9 | `v`ž-İ+ú. . . wĐ. -ě    |
| 00000130 | 42 | c6 | cb | b4 | 63 | 5b | 79 | 7a | d5 | ed | ce | fc | 64 | e6 | f0 | cc | BČE`č[yzŌİfudčđĚ        |
| 00000140 | c7 | df | 2c | ff | 20 | 36 | 38 | 1d | 0b | b4 | 5e | 5b | bd | 42 | 4d | 6c | ČB, `68. . `^[`BML      |
| 00000150 | ca | e0 | 34 | 5f | 8d | 93 | 2e | a2 | 32 | 4c | a1 | ee | 2b | 12 | 41 | e8 | Řř4_ . . `2L`İ+. Ač     |
| 00000160 | 62 | b8 | 02 | a4 | 5f | 8f | 37 | 40 | 80 | 27 | 53 | 89 | 74 | 5e | 98 | d0 | b, . . _7@e`šwt^ . Đ    |
| 00000170 | b9 | 2b | 4a | 4c | 7b | d0 | f5 | 29 | d0 | 38 | 8f | 2a | a7 | 63 | ef | 35 | q†JL(Đš)Đš. *šcdš       |
| 00000180 | 1a | 9c | e8 | f0 | 86 | f1 | ba | c6 | 88 | d8 | 29 | 90 | 2a | d1 | 66 | 73 | . ščđ†ščŘ. ) *Ńfs       |
| 00000190 | d7 | 25 | 1f | 3a | b8 | cb | 2d | 7a |    |    |    |    |    |    |    |    | *š. : , B-z             |

Rys. 2. Plik zaszyfrowany

Rozmiar pliku oryginalnego wynosił 0x36 bajtów, rozmiar pliku zaszyfrowanego to 0x197 bajtów. To co na pierwszy rzut oka było widać w pliku zaszyfrowanym, to pewna regularność zaczynająca się od bajtu numer 0x89. Fragment ten nie wyglądał jak fragment szyfrogramu. Analizując dalej, regularność tę można było powiększyć — zaczynała się od bajtu numer 0x80. Regularność ta wskazywała, że od tego miejsca plik nie był zaszyfrowany, co mogło wskazywać na to, że były to jakieś dodatkowe informacje, na bazie których atakujący będą w stanie odszyfrować zawartość pliku. Moje przypuszczenia zostały potwierdzone analizą kilku kolejnych zaszyfrowanych plików.



| Address  | 0  | 1  | 2  | 3  | 4  | 5  | 6  | 7  | 8  | 9  | a  | b  | c  | d  | e  | f  | Dump               |
|----------|----|----|----|----|----|----|----|----|----|----|----|----|----|----|----|----|--------------------|
| 00000000 | 57 | 34 | 4e | c7 | 24 | 60 | e3 | fd | 70 | 34 | c6 | 2c | 2e | 8b | 11 | 01 | W4NÇ\$`äyp4C, .<.. |
| 00000010 | 41 | 5a | df | a8 | d4 | 84 | 86 | dc | 9a | f7 | 23 | fc | f6 | a9 | 73 | 40 | AZB`Ö„†Üš+#úø@#@   |
| 00000020 | ea | 60 | 58 | ec | 8b | 91 | 8d | 38 | 83 | eb | 19 | cf | ff | 58 | 9c | c6 | ę`Xě<`.8e.Đ`XśĆ    |
| 00000030 | 1b | 8d | 06 | 3f | b8 | a3 | c2 | 54 | 52 | c7 | 04 | c9 | 97 | 2a | 89 | 5a | ...?`ĹÄTRÇ.É-*%z   |
| 00000040 | 26 | b3 | 53 | 74 | 10 | 3e | 3c | b9 | b1 | c8 | dc | 69 | 8d | fc | f5 | eb | æİst.>çtçÜi.úðë    |
| 00000050 | 61 | 29 | 1d | 2f | 18 | 3c | a3 | 4f | 0a | d6 | 78 | 4c | 1f | 43 | 5f | 3c | a) ./.<ŁO.ÖxŁ.C.<  |
| 00000060 | 03 | 8a | e7 | a2 | b8 | 1f | 2d | 2a | 5f | 39 | 23 | e3 | 47 | cc | 03 | f9 | .šç`.,-*`9#äGĚ.ú   |
| 00000070 | 9e | 27 | e4 | ef | aa | f2 | 59 | ca | c8 | c1 | eb | d9 | a3 | 65 | 88 | 90 | ž`adšñYřČÄeŮŁe.    |
| 00000080 | e8 | 03 | 00 | 00 | b7 | bc | a6 | 96 | 36 | 00 | 00 | 00 | 00 | 00 | 00 | 00 | š...`E -6.....     |
| 00000090 | 80 | 00 | 00 | 00 | 00 | 00 | 00 | 00 | 80 | de | bc | 9c | 68 | f8 | 49 | 43 | ē.....eTšhřIC      |
| 000000a0 | d1 | 69 | 0d | 84 | 48 | 88 | 64 | 6a | dc | f2 | 16 | 09 | af | dd | ee | c9 | Ni..`HdjŮň..žÝiÉ   |
| 000000b0 | 4a | 04 | 31 | 5a | 26 | 0e | d6 | 3f | 8f | 08 | d2 | e0 | df | af | b9 | b6 | J.1Zē.Ö?.`NřBžaq   |
| 000000c0 | cb | 45 | 1d | b6 | a1 | 2b | 5a | 26 | f1 | a4 | fa | 86 | 25 | 02 | 2a | 37 | ĚB.ř`+zæñeú†%.*7   |
| 000000d0 | 10 | c2 | 8d | 3a | 57 | 9b | 74 | a2 | cf | fc | 7e | f0 | 81 | 12 | cd | bc | .Ā.:wst`Đũ~d..íL   |
| 000000e0 | 7f | 06 | fe | 75 | 94 | c2 | ca | 83 | e8 | e3 | 40 | 27 | c6 | 67 | 32 | c1 | . .tu`ĀĚčã@`Ćg2Ā   |
| 000000f0 | 54 | 01 | 12 | 27 | f6 | af | 02 | c3 | 28 | c9 | 0a | 28 | f7 | bd | 5b | 05 | T..`šž.Ā(š.(+`[.   |
| 00000100 | d9 | 4b | a8 | 37 | fc | 5d | 36 | 3d | 63 | 23 | 63 | e0 | 2a | 0d | bf | 1f | ŮK`7u]6=c#çr*.ž.   |
| 00000110 | a0 | f9 | b7 | f1 | 8f | 77 | 15 | fd | b1 | 13 | 83 | bř | ba | e3 | 20 | 1d | .ũ`ń.w.ýžšã .      |
| 00000120 | bd | 76 | 5e | 8e | 96 | e5 | 2b | fa | 1b | 81 | 09 | 89 | d0 | 2e | 97 | e9 | `v`ž-1+ú...%B.-é   |
| 00000130 | 42 | c6 | cb | b4 | 63 | 5b | 79 | 7a | d5 | ed | ce | fc | 64 | e6 | f0 | cc | BČĚ`c[yzŃiřudédĚ   |
| 00000140 | c7 | df | 2c | ff | 20 | 36 | 38 | 1d | 0b | b4 | 5e | 5b | bd | 42 | 4d | 6c | ÇB,`68..`^["BM1    |
| 00000150 | ca | e0 | 34 | 5f | 8d | 93 | 2e | a2 | 32 | 4c | a1 | ee | 2b | 12 | 41 | e8 | řř4_..`2L`î+.AČ    |
| 00000160 | 62 | b8 | 02 | a4 | 5f | 8f | 37 | 40 | 80 | 27 | 53 | 89 | 74 | 5e | 98 | d0 | b,.`*_7@e`šwt^`B   |
| 00000170 | b9 | 2b | 4a | 4c | 7b | d0 | f5 | 29 | d0 | 38 | 8f | 2a | a7 | 63 | ef | 35 | ą+JL(Đš)ĐB.*šçd5   |
| 00000180 | 1a | 9c | e8 | f0 | 86 | f1 | ba | c6 | 88 | d8 | 29 | 90 | 2a | d1 | 66 | 73 | .šçd†řšČŘ).*Nřš    |
| 00000190 | d7 | 25 | 1f | 3a | b8 | cb | 2d | 7a |    |    |    |    |    |    |    |    | x%.:`Ě-z           |

Rys. 4. Zaznaczone dodatkowe bajty w pliku gif

W dalszym ciągu nieznanne było znaczenie tych bajtów. Porównując je z bajtami innych zaszyfrowanych plików, spróbowałem określić format doklejonej stopki.

TABELA 1

Format doklejonej stopki

| Pozycja startowa (oznaczenie) | Długość (bajty) | Znaczenie   | Przykład            |
|-------------------------------|-----------------|---|---------------------|
| 0x00 (A)                      | 4               | Początek stopki.  | 0xe8 0x03 0x00 0x00 |
| 0x04 (B)                      | 4               | Nieznanne, powtarzalne dla większości plików pochodzących z tego samego katalogu. | 0xb7 0xbc 0xa6 0x96 |
| 0x08 (C)                      | 4               | Rozmiar pliku oryginalnego.   | 0x36 0x00 0x00 0x00 |
| 0x0C (D)                      | 4               | Nieznanne, zawsze zera. Być może jest to dalsza część pola C.                     | 0x00 0x00 0x00 0x00 |

cd. tabeli 1

|             |      |   |  |
|-------------|------|---|--|
| 0x10<br>(E) | 4    | Rozmiar pliku zaszyfrowanego pomniejszony o długość stopki (0x118 bajtów).  | 0x80 0x00 0x00 0x00                    |
| 0x14<br>(F) | 4    | Nieznane, zawsze zera. Być może jest to dalsza część pola E.  | 0x00 0x00 0x00 0x00                    |
| 0x18<br>(G) | 1    | Nieznane, zawsze 0x80.  | 0x80                                   |
| 0x19<br>(H) | 0x80 | Nieznane, wyglądają na pseudolosowy ciąg bajtów albo szyfrogram, w każdym pliku inne.   | 0xde 0xbc 0x9c 0x68 0xf8<br>0x49 ..... |
| 0x99<br>(I) | 0x7F | Nieznane, wyglądają na pseudolosowy ciąg bajtów albo szyfrogram, powtarzalne dla większości plików pochodzących z tego samego katalogu. | 0x13 0x83 0xbf 0xba 0xe3<br>0x20 ...   |

Analiza pola C oraz E wykazała, że rozmiar pliku zaszyfrowanego pomniejszony o rozmiar stopki (0x118 bajtów) powiększał się o 0x40 bajtów na każde 0x2000 bajtów pliku oryginalnego. Dodatkowo, dla plików oryginalnych o rozmiarze mniejszym niż 0x40 bajtów rozmiar E wynosił 0x80 bajtów. Oznaczało to, że oprócz standardowego powiększenia o 0x40 bajtów, mały plik był dopełniany do długości 0x40 bajtów. Dla większych plików dopełnienie nie było przeprowadzane. Analiza prowadziła do kilku wniosków:

1. Minimalna długość danych przetwarzana przez mechanizm kryptograficzny wynosiła 0x40 bajtów.
2. Pliki oryginalne o rozmiarze mniejszym niż 0x40 bajtów dopełniane były do 0x40 bajtów. W tym przypadku  $E = 0x80$ .
3. Pliki oryginalne o rozmiarze większym niż 0x40 bajtów nie były dopełniane. W tym przypadku  $E = C + 0x40 * ((C \text{ div } 0x2000) + 1)$ . Operacja div oznacza dzielenie całkowitoliczbowe.
4. Dane pliku oryginalnego przetwarzane były w blokach o długości około 0x2000 bajtów.

Analiza pola B oraz I pokazała, że ich wartości powiązane były z folderami, w których znajdowały się zaszyfrowane pliki. W tamtej chwili nie było znane znaczenie i zastosowanie tych pól. Być może były to wartości inicjacyjne (IV) dla mechanizmów kryptograficznych.

Analiza pola G wykazała, że było ono takie samo dla wszystkich zaszyfrowanych plików.

Analiza pola I wykazała, że miało ono zawsze 0x80 bajtów długości oraz było różne w zaszyfrowanych plikach. W związku z tym przyjąłem założenie, że właśnie w polu I zapisany został klucz użyty do zaszyfrowania pliku.

## 2.2. Analiza otrzymanego klucza

Zawartość pliku z przesłanym kluczem w pierwszym momencie sugerowała, że był to certyfikat X509 zapisany w formacie PEM i zakodowany algorytmem Base64.

```

1 -----BEGIN CERTIFICATE-----
2 BwIAAACkAABSU0EyAAQAAEAQAQBnbNpwv3xXg2XcIluTP9ZMz3N53g5h9Mzka+rKAs1T
3 jj2lsBWyuoIaZCaP5BwcjtAdX7IK3N5k1VwWsqBAh765Y54ugP0ZqNRSBNpWPP5UicQ3
4 LHGI+1k5RcH2t+8XshVHVncqRRxlm4AYb40iRzv93Wtgq9v/7zXi5hX5ptTcvb0z0cqd
5 EAwwZCxBhhe1HunggcdIOYmf1DBREGVobJ1VYTRRM3wr1iuIus4SDkPEpX6Lly9Ph7d
6 U180C2makOrzkJwYESWVeXTuV1w0EVVplz+Rtc5X/JzGwFvKORa80sI/ef505R/19pKD
7 jdPRSHqT8VGeA59Kh3Nf20xIdzbPCSP/9JnNvtncPbTwHjePLHtoJG65HAI9YWP4/p2
8 N7wxPZvlQhaHfM4E3qnlqjj0je97brTNK+aBS90HdNKrtrWTb+p7oishYwCITP6dcPnz
9 Al1CJ+nKh0gqVuuYB+zS/VNh167bRHnt2kmr1091Yk7s5RdNIptN+Ug4LI+b8BFQVBsd
10 ADCu5AipnJYbMoJcxb8Nvx/7PNas+mAaORkkqKTq/qF9hDwBAZhzG3uU9b5aUgGkv4g0
11 DBTiDleBnmqmieM7BeRA5/vxjDOxeeIsEy0ktSaAPOJD5yMEA6h9t6kd8uMCLYLAUK50
12 1f11mamuPeMrbQwC58XwOrHLyayk7aZebVAG01xmLjQeNKUMP4S3tjrIGWU+uszJCSZP
13 cOYs0f9Vw4cpOmPh2zdWuOXuN7zwKlvEqrJRtsmaSl+RzU=
14 -----END CERTIFICATE-----

```

Rys. 5. Klucz

Niestety, dokładniejsza analiza, a także próba parsowania zgodnie ze standardem ASN.1 wykazała, że nie był to format PEM. Atakujący mogli utworzyć swój własny sposób zapisu klucza albo skorzystać z innej standardowej metody. Aby odpowiedzieć na to pytanie, rozpocząłem analizę danych klucza po wykonaniu dekodowania algorytmem Base64.

| Address  | 0  | 1  | 2  | 3  | 4  | 5  | 6  | 7  | 8  | 9  | a  | b  | c  | d  | e  | f  | Dump             |
|----------|----|----|----|----|----|----|----|----|----|----|----|----|----|----|----|----|------------------|
| 00000000 | 07 | 02 | 00 | 00 | 00 | a4 | 00 | 00 | 52 | 53 | 41 | 32 | 00 | 04 | 00 | 00 | .....*.RSA2....  |
| 00000010 | 01 | 00 | 01 | 00 | 67 | 6c | da | 70 | bf | 7c | 57 | 83 | 65 | dc | 22 | 5b | ...głúpz Weü"[   |
| 00000020 | 93 | 3f | d6 | 4c | cf | 73 | 79 | de | 0e | 61 | f4 | cc | e4 | 6b | ea | ca | "?ÖLšyT.aöĚăkëĚ  |
| 00000030 | 02 | cd | 53 | 8e | 3d | a5 | b0 | 15 | b2 | bb | 42 | 1a | 64 | 26 | 8f | e4 | .Íšž=Å°.»B.d&.ă  |
| 00000040 | 1c | 1c | 8e | d0 | 1d | 5f | b2 | 0a | dc | de | 64 | d5 | 5c | 16 | b2 | a0 | ..žĐ.„.Ůřdó\.    |
| 00000050 | 40 | 87 | be | b9 | 63 | 9e | 2e | 80 | fd | 19 | a8 | d4 | 52 | 04 | da | 56 | @#Iáčž.ey„.ŔR.Ův |
| 00000060 | 3c | fe | 54 | 21 | c4 | 37 | 94 | 71 | 93 | fb | 59 | 39 | 45 | c1 | f6 | b7 | <řT!Ă7"q"Ůy9EÁo. |
| 00000070 | ef | 17 | b2 | 15 | 47 | 56 | 77 | 2a | 45 | 1c | 65 | 9b | 80 | 18 | 6f | 83 | d.„.GVw*E.e>e.o  |
| 00000080 | a2 | 47 | 3b | fd | dd | 6b | 60 | ab | db | ff | ef | 35 | e2 | e6 | 15 | f9 | ˆG;ýŷk«Ů'd5áč.Ů  |
| 00000090 | a6 | d4 | dc | bd | bd | 33 | d1 | ca | 9d | 10 | 0c | 2f | c1 | 90 | b1 | 1e | !ŮŮ"3ŇĚ.../Á.±.  |
| 000000a0 | 18 | 5e | 94 | 7b | a7 | 82 | 07 | 1d | 20 | e6 | 26 | 7f | 50 | c1 | 44 | 41 | .^"(\$,..&.PÁDA  |
| 000000b0 | 95 | a1 | b2 | 65 | 55 | 84 | d1 | 44 | cd | f0 | af | 58 | ae | 22 | eb | 38 | •ˆ„eU„Ňdíďžx"e8  |
| 000000c0 | 48 | 39 | 0f | 12 | 95 | fa | 2e | 5c | bd | 3e | 1e | dd | 53 | 5f | 34 | 0b | H9..•ú.\~>.Ÿs_4. |

Rys. 6. 0xd0 pierwszych bajtów otrzymanego klucza po zdekodowaniu algorytmem Base64

Pierwsze, zaznaczone na rysunku, bajty klucza wskazywały na wykorzystanie standardowej metody zapisu danych klucza. Dodatkowo pojawił się napis „RSA2”, co raczej nie mogło być przypadkiem. Dalsza analiza zawartości klucza wskazywała na to, że jest to wyeksportowany klucz prywatny algorytmu RSA zapisany w strukturze PRIVATEKEYBLOB obsługiwanej przez biblioteki kryptograficzne dostarczane z systemem operacyjnym Windows.

```
PUBLICKEYSTRUC publickeystruc;
RSAPUBKEY rsapubkey;
BYTE modulus[rsapubkey.bitlen/8];
BYTE prime1[rsapubkey.bitlen/16];
BYTE prime2[rsapubkey.bitlen/16];
BYTE exponent1[rsapubkey.bitlen/16];
BYTE exponent2[rsapubkey.bitlen/16];
BYTE coefficient[rsapubkey.bitlen/16];
BYTE privateExponent[rsapubkey.bitlen/8];
```

Rys. 7. Struktura PRIVATEKEYBLOB

([https://msdn.microsoft.com/en-us/library/windows/desktop/aa387453\(v=vs.85\).aspx](https://msdn.microsoft.com/en-us/library/windows/desktop/aa387453(v=vs.85).aspx))

W celu sparsowania otrzymanego klucza oraz weryfikacji jego kryptograficznej poprawności napisałem program w języku Java. W poniższej tabeli przedstawione są najważniejsze wyniki parsowania.

TABELA 2

Tabela z wynikami parsowania

|                     |  |
|---------------------|--|
| Moduł (P*Q)         | bddcd4a6f915e6e235efffdbab606bddfd3b47a2836f18809b651c452a77564715b217efb7f6c1453959fb93719437c42154fe3c56da0452d4a819fd802e9e63b9be8740a0b2165cd564dedc0ab25f1dd08e1c1ce48f26641a42bbb215b0a53d8e53cd02caea6be4ccf4610ede7973cf4cd63f935b22dc6583577cbf70da6c67 |
| Wykładnik publiczny | 10001  |
| Wykładnik prywatny  | 35477e296926db46c9aa12dbbb28f0bc37eee5b85637dbe1633a2987c355ffd12ce6704f2609c9ccba3e6519c83ab6b7843f0ca5341e342e665cd206506d44a6eda4acc9cbb13af0c5e7020c6d2be33daea99975fd54eae50c0b16002e3f21da9b77da8030423e743e23c8026b5242d132ce279b1338cf1fbe740e4053be389  |
| Liczba pierwsza Q   | ea909a690b345f53dd1e3ebd5c2efa95120f394838eb22ae58aff0cd44d1845565b2a1954144c1507f26e6201d0782a77b945e181eb190c12f0c109dcad133bd   |
| Liczba pierwsza P   | cf3677484cdb5f73874a9f039e51f1937a48d1d38d8392f6e51fe574fe793fc23abc6b3aca5bc0c69cfc57ceb5913fd7695511345c57ee7479952511189c90f3   |

Analiza uzyskanych wyników wykazała, że otrzymany klucz jest poprawnym pod względem kryptograficznym kluczem prywatnym algorytmu RSA z modułem długości 0x80 bajtów (1024 bity). W związku z tym dane, które miały podlegać deszyfrowaniu, powinny być mieć długość 0x80 bajtów, co odpowiadało długości pola H ze stopki zaszyfrowanego pliku. W związku z tym podjąłem próbę



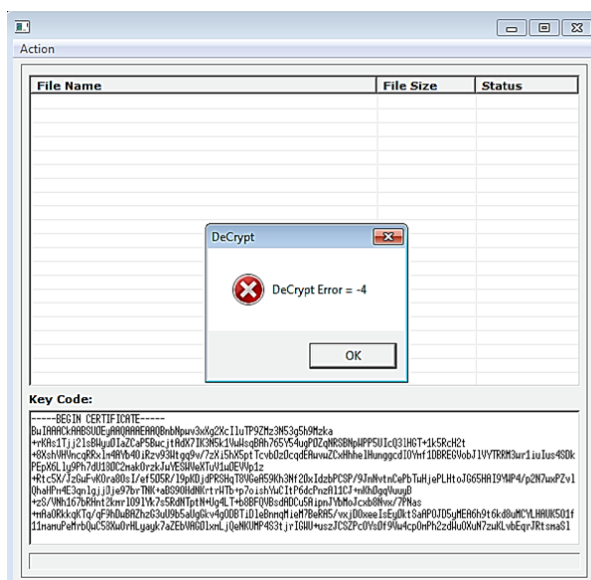
odszyfrowania zawartości pola H, korzystając z algorytmu RSA wraz z algorytmem dopełnienia PKCS#1 w wersji 1.5. Odszyfrowanie zakończyło się pomyślnie, czyli dane nie były większe od modułu i dopełnienie było zgodne z formatem PKCS#1. W wyniku odszyfrowania otrzymałem ciąg 0x40 znaków ASCII postaci: m.R.@kt”KbT\*N9>XJYp\_L>qkPO[S?ZdPbWjqnNfO0%MJy.o[m\_+Y)!Kq”!RRU\_ ^A

W przypadku innych zaszyfrowanych plików w wyniku odszyfrowania pola H również otrzymywałem ciągi złożone z 0x40 znaków ASCII.

Na bazie analizy zawartości klucza oraz poprawnie odszyfrowanej zawartości pola stopki H wnioskowałem, że w polu tym zapisany był klucz użyty w jakimś algorytmie symetrycznym, którym zaszyfrowany został plik. Algorytm ten mógł być szyfrem blokowym, szyfrem strumieniowym lub jakimś autorskim mechanizmem atakujących. Analizując jednak format pliku zaszyfrowanego oraz format udostępnionego klucza, bardziej prawdopodobne wydawało się zastosowanie znanego algorytmu blokowego albo strumieniowego niż własnego pomysłu atakujących.

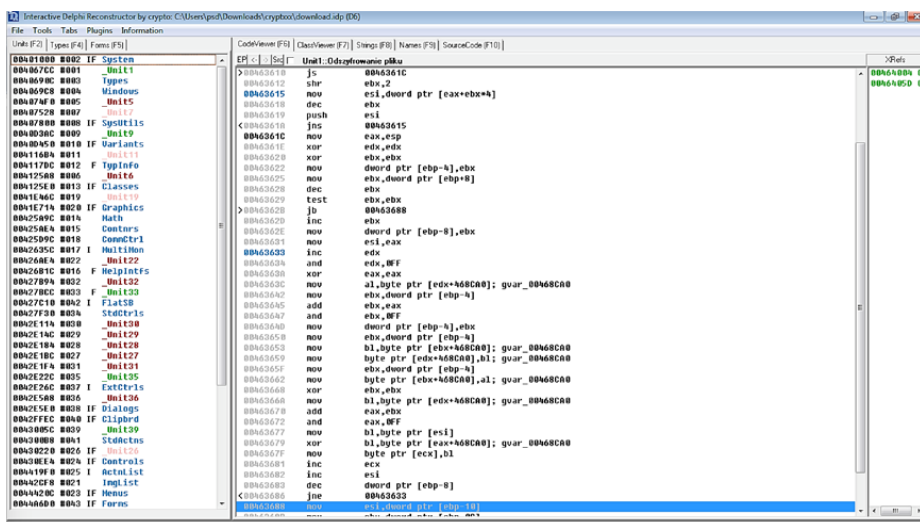
### 2.3. Analiza otrzymanego programu deszyfrującego

Miałem już klucz prywatny do algorytmu RSA oraz klucz do algorytmu symetrycznego. Brakowało mi jednak informacji, jaki algorytm symetryczny został wykorzystany. Nie wiedziałem też, w jaki sposób ten algorytm został użyty. Dodatkowo chciałem się dowiedzieć, dlaczego podczas próby odszyfrowania pojawiał się komunikat „DeCrypt Error = -4”.



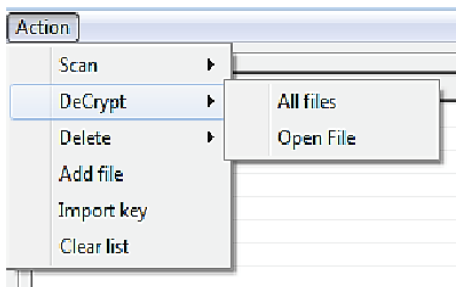
Rys. 8. Błąd programu deszyfrującego

Dalszą pracę rozpocząłem od analizy postaci mnemonicznej (kod assembler) uzyskanej za pomocą narzędzi typu disassembler. Wstępna analiza programu deszyfrującego wykazała, że został on napisany w języku Delphi. Do uzyskania kodu assemblera wykorzystałem aplikację Interactive Delphi Reconstructor w najnowszej dostępnej na stronie producenta wersji.



Rys. 9. IDR

Wstępny przegląd uzyskanego kodu wskazywał, że w przypadku narzędzia do deszyfrowania atakujący nie użyli żadnych technik zaciemniania kodu. Dzięki temu kod był w miarę łatwy do czytania oraz analizy. W pierwszej kolejności zająłem się szukaniem funkcji, która jest wywoływana po kliknięciu w menu opcji „DeCrypt->All files”.



Rys. 10. Opcja decrypt

Funkcję znalazłem pod adresem 00465B0C.

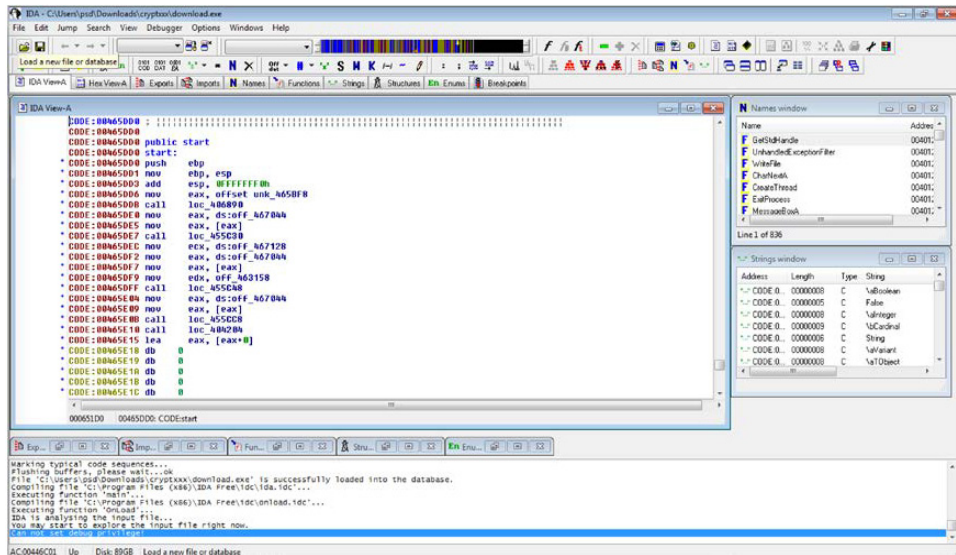
```

Unit1::Opcja DeCrypt->All files
0046580C    push    ebp
0046580D    mov     ebp,esp
0046580F    add     esp,0FFFFFFF8
00465812    xor     ecx,ecx
00465814    mov     dword ptr [ebp-8],ecx
00465817    xor     eax,eax
00465819    push   ebp
0046581A    push   465B76
0046581F    push   dword ptr fs:[eax]
00465822    mov     dword ptr fs:[eax],esp
00465825    lea    edx,[ebp-8]
00465828    mov     eax,[00468C8C]; gvar_00468C8C:TForm1
0046582D    mov     eax,dword ptr [eax+2F8]
00465833    call   TControl.GetText
00465838    mov     edx,dword ptr [ebp-8]
0046583B    mov     eax,468C98; gvar_00468C98:AnsiString
00465840    call   @LStrAsg
00465845    call   004641A0
0046584A    push   0
0046584C    push   0
0046584E    lea    eax,[ebp-4]
00465851    push   eax
00465852    mov     ecx,465724
00465857    xor     edx,edx
00465859    xor     eax,eax
0046585B    call   BeginThread
00465860    xor     eax,eax
00465862    pop     edx
00465863    pop     ecx
00465864    pop     ecx
00465865    mov     dword ptr fs:[eax],edx
00465868    push   465B7D
0046586D    lea    eax,[ebp-8]
00465870    call   @LStrClr
00465875    ret
<00465876    jmp     @HandleFinally
<0046587B    jmp     0046586D
0046587D    pop     ecx
0046587E    pop     ecx
0046587F    pop     ebp
00465880    ret

```

Rys. 11. Funkcja All files

W następnej kolejności postanowiłem uruchomić program deszyfrujący z podłączonym do niego narzędziem typu debugger. Chciałem zobaczyć, co i jak dokładnie jest robione. W tym celu skorzystałem z oprogramowania IDA firmy Hex-Rays. Była to darmowa wersja v5.0.



Rys. 12. IDA

Trwająca kilka godzin analiza wykonania programu deszyfrującego umożliwiła mi poznanie algorytmu szyfrującego pliki oraz wyjaśniła, dlaczego program zwraca komunikat „DeCrypt Error = -4.” Wersja oprogramowania, którą analizowałem, szukała w pliku zaszyfowanym pola A ze stopki w bajcie numer 0x104, licząc od końca pliku. Jeżeli pole A nie zostało tam odnalezione, program zwracał wspomniany wcześniej komunikat i kończył przetwarzanie pliku. Postanowiłem więc ręcznie zmodyfikować zaszyfowany plik w taki sposób, aby format pliku był kompatybilny z programem. Dzięki temu przetwarzanie pliku przebiegało dalej i umożliwiło poznanie mechanizmu szyfrowania. Zmodyfikowany plik został przetworzony przez program deszyfrujący, jednak odszyfrowane dane były nieprawidłowe.

Analiza zachowania programu i przyczyn zwracanego błędu pozwalała sądzić, że program ten służył do odszyfrowywania plików zaszyfowanych wirusem CryptXXX w wersji wcześniejszej niż 3. W związku z tym, z punktu widzenia użytkownika, program był całkowicie bezużyteczny. Z mojego punktu widzenia dostarczał jednak wiedzy, jak mechanizm szyfrowania działał kiedyś. Zakładając, że w wersji 3 mechanizm uległ jedynie drobnym modyfikacjom, można było z programu uzyskać wiele przydatnych informacji.

## 2.4. Odczytane algorytmy z programu deszyfrującego

Analiza kodu programu deszyfrującego podczas jego działania umożliwiła uzyskanie informacji, w jaki sposób działała poprzednia wersja mechanizmu szyfrującego pliki. Udało mi się ustalić, że:

1. Do każdego zaszyfrowanego pliku doklejana była stopka o długości 0x104 bajtów. Stopka zaczynała się sekwencją bajtów: 0xe8 0x03 0x00 0x00.
2. Korzystano jedynie z 0x80 bajtów stopki, w których zapisany był zaszyfrowany algorytmem RSA (1024 bity) klucz. Klucz ten, po odszyfrowaniu, składał się z 0x40 znaków ASCII. Pozostała część danych w stopce nie była używana.
3. Odszyfrowany klucz używany był do inicjalizacji nieznacznie zmodyfikowanej wersji algorytmu RC4.
4. Dane pliku dzielone były na bloki długości 0x2000 bajtów i szyfrowane algorytmem RC4 (alternatywa wykluczająca z wygenerowanym strumieniem klucza). Dla każdego bloku resetowany był indeks wygenerowanego bajtu w algorytmie RC4 na 1. Wydaje się, że ta słabość mogła zostać wykorzystana w narzędziu udostępnionym przez firmę Kaspersky do odszyfrowywania plików zaszyfrowanych CryptXXX bez znajomości klucza prywatnego RSA.
5. Do obsługi kryptografii asymetrycznej (RSA) atakujący korzystali z API systemu Windows (m.in. funkcja CryptDecrypt).
6. Do obsługi kryptografii symetrycznej atakujący korzystali z własnej implementacji szyfru RC4. Opisana w punkcie 4 modyfikacja może wynikać z błędnej implementacji, a nie celowej modyfikacji.
7. Długość zaszyfrowanego pliku była równa sumie długości pliku oryginalnego oraz stopki (0x104 bajty).

Poniżej przedstawiony został znaleziony w kodzie algorytm inicjalizacji RC4 na podstawie klucza zapisanego w polu H stopki.

```
0046356C  push    ebx
0046356D  push    esi
0046356E  push    edi
0046356F  add     esp,0FFFFFFE00
00463575  mov     esi,eax
00463577  lea    edi,[esp]
0046357A  xor    ecx,ecx
0046357C  mov    cl,byte ptr [esi]
0046357E  inc    ecx
0046357F  rep movs byte ptr [edi],byte ptr [esi]
00463581  xor    edx,edx
00463583  mov    eax,468CA0; gvar_00468CA0
00463588  mov    byte ptr [eax],dl
0046358A  inc    edx
0046358B  inc    eax
```

---

```
0046358C test    dl,dl
0046358E jne     00463588
00463590 mov     al,1
00463592 movzx   esi,byte ptr [esp]
00463596 mov     dl,0
00463598 lea     ecx,[esp+100]
0046359F xor     ebx,ebx
004635A1 mov     bl,al
004635A3 mov     bl,byte ptr [esp+ebx]
004635A6 mov     byte ptr [ecx],bl
004635A8 xor     ebx,ebx
004635AA mov     bl,al
004635AC cmp     esi,ebx
004635AE jne     004635B2
004635B0 xor     eax,eax
004635B2 inc     eax
004635B3 inc     ecx
004635B4 dec     dl
004635B6 jne     0046359F
004635B8 mov     dl,0
004635BA lea     esi,[esp+100]
004635C1 mov     edi,468CA0; gvar_00468CA0
004635C6 and     eax,0FF
004635CB xor     ebx,ebx
004635CD mov     bl,byte ptr [esi]
004635CF add     eax,ebx
004635D1 mov     cl,byte ptr [edi]
004635D3 xor     ebx,ebx
004635D5 mov     bl,cl
004635D7 add     eax,ebx
004635D9 and     eax,0FF
004635DE xor     ebx,ebx
004635E0 mov     bl,al
004635E2 mov     bl,byte ptr [ebx+468CA0]; gvar_00468CA0
004635E8 mov     byte ptr [edi],bl
004635EA xor     ebx,ebx
004635EC mov     bl,al
004635EE mov     byte ptr [ebx+468CA0],cl; gvar_00468CA0
004635F4 inc     edi
004635F5 inc     esi
```

```
004635F6 dec dl
004635F8 jne 004635C6
004635FA add esp,200
00463600 pop edi
00463601 pop esi
00463602 pop ebx
00463603 ret
```

Poniżej przedstawiony został znaleziony w kodzie algorytm RC4.

```
00463604 push ebp
00463605 mov ebp,esp
00463607 add esp,0FFFFFFF8
0046360A push ebx
0046360B push esi
0046360C mov ebx,edx
0046360E test ebx,ebx
>00463610 js 0046361C
00463612 shr ebx,2
00463615 mov esi,dword ptr [eax+ebx*4]
00463618 dec ebx
00463619 push esi
0046361A jns 00463615
0046361C mov eax,esp
0046361E xor edx,edx
00463620 xor ebx,ebx
00463622 mov dword ptr [ebp-4],ebx
00463625 mov ebx,dword ptr [ebp+8]
00463628 dec ebx
00463629 test ebx,ebx
0046362B jb 00463688
0046362D inc ebx
0046362E mov dword ptr [ebp-8],ebx
00463631 mov esi,eax
00463633 inc edx
00463634 and edx,0FF
0046363A xor eax,eax
0046363C mov al,byte ptr [edx+468CA0]; gvar_00468CA0
00463642 mov ebx,dword ptr [ebp-4]
00463645 add ebx,eax
```

```
00463647 and    ebx,0FF
0046364D mov    dword ptr [ebp-4],ebx
00463650 mov    ebx,dword ptr [ebp-4]
00463653 mov    bl,byte ptr [ebx+468CA0]; gvar_00468CA0
00463659 mov    byte ptr [edx+468CA0],bl; gvar_00468CA0
0046365F mov    ebx,dword ptr [ebp-4]
00463662 mov    byte ptr [ebx+468CA0],al; gvar_00468CA0
00463668 xor    ebx,ebx
0046366A mov    bl,byte ptr [edx+468CA0]; gvar_00468CA0
00463670 add    eax,ebx
00463672 and    eax,0FF
00463677 mov    bl,byte ptr [esi]
00463679 xor    bl,byte ptr [eax+468CA0]; gvar_00468CA0
0046367F mov    byte ptr [ecx],bl
00463681 inc    ecx
00463682 inc    esi
00463683 dec    dword ptr [ebp-8]
00463686 jne    00463633
00463688 mov    esi,dword ptr [ebp-10]
0046368B mov    ebx,dword ptr [ebp-0C]
0046368E mov    esp,ebp
00463690 pop    ebp
00463691 ret    8
```

W wyniku przeprowadzonej analizy poznałem sposób działania CryptXXX w wersji 2. Na tamtą chwilę pozostawała mi nadzieja, że mechanizm szyfrowania w wersji 3 zmienił się tylko nieznacznie. Na podstawie przeprowadzonej do tej pory analizy mogłem wnioskować o podobieństwach oraz różnicach pomiędzy CryptXXX w wersji 2 oraz w wersji 3.

Możliwe podobieństwa:

1. Ten sam mechanizm (RSA 1024 bity) szyfrowania klucza użytego do zaszyfrowania pliku.
2. Każdy plik szyfrowany innym kluczem (wniosek z istnienia stopki w CryptXXX w wersji 2).
3. Zaszyfrowany algorytmem RSA klucz użyty do zaszyfrowania pliku zapisywany był jako fragment doklejanej do końca zaszyfrowanego pliku stopki.
4. Klucz użyty do szyfrowania składał się z 0x40 znaków ASCII.

Możliwe różnice:

1. Inny sposób szyfrowania pliku. W wersji 3 długość szyfrogramu była dłuższa niż długość tekstu jawnego. W wersji 2 długość szyfrogramu była równa długości tekstu jawnego.



2. Różne formaty stopki. W wersji 2 w stopce nie występowały pola B, C, D, E oraz F. Stopka w wersji 2 była krótsza o 0x14 bajtów.

Na bazie kluczy używanych do szyfrowania pliku spodziewałem się, że w wersji 3 użyty został algorytm RC4 z drobnymi modyfikacjami, które powodowały przyrost długości szyfrogramu.

## 2.5. Próba dojścia do sposobu szyfrowania użytego w wersji v3

Aby zweryfikować przypuszczenia z poprzedniego rozdziału, napisałem program w języku Java, w którym próbowałem stosować różne metody wykorzystania algorytmu RC4 do odszyfrowania pliku. Niestety, wielogodzinne próby nie przyniosły spodziewanego efektu — dalej nie znam sposobu szyfrowania plików przez CryptXXX w wersji 3.

Poniżej prezentuję niektóre próby deszyfrowania, które przetestowałem na zaszyfrowanym pliku. Próby zakładały, że dodatkowe 0x40 bajtów, o które testowy szyfrogram był dłuższy od tekstu jawnego, były wykorzystywane w RC4 albo były nieużywane (analogicznie do niektórych bajtów w dodawanej do zaszyfrowanego pliku stopce).

Pracowałem na pliku o zawartości:

| Address  | 0  | 1  | 2  | 3  | 4  | 5  | 6  | 7  | 8  | 9  | a  | b  | c  | d  | e  | f  | Dump                   |
|----------|----|----|----|----|----|----|----|----|----|----|----|----|----|----|----|----|------------------------|
| 00000000 | 57 | 34 | 4e | c7 | 24 | 60 | e3 | fd | 70 | 34 | c6 | 2c | 2e | 8b | 11 | 01 | W4NÇS`ăÿp4ć, .< . .    |
| 00000010 | 41 | 5a | df | a8 | d4 | 84 | 86 | dc | 9a | f7 | 23 | fc | f6 | a9 | 73 | 40 | AZB`ô„+Üš+ #uo@e@      |
| 00000020 | ea | 60 | 58 | ec | 8b | 91 | 8d | 38 | 83 | eb | 19 | cf | ff | 58 | 9c | c6 | ę`xě<`.8e.Ď`xść        |
| 00000030 | 1b | 8d | 06 | 3f | b8 | a3 | c2 | 54 | 52 | c7 | 04 | c9 | 97 | 2a | 89 | 5a | . . . ? , ŁÂTRÇ. É—*%Z |
| 00000040 | 26 | b3 | 53 | 74 | 10 | 3e | 3c | b9 | b1 | c8 | dc | 69 | 8d | fc | f5 | eb | εłst.><ą±ČÜi.úóe       |
| 00000050 | 61 | 29 | 1d | 2f | 18 | 3c | a3 | 4f | 0a | d6 | 78 | 4c | 1f | 43 | 5f | 3c | a) ./ .<ŁO.öxL.C_<     |
| 00000060 | 03 | 8a | e7 | a2 | b8 | 1f | 2d | 2a | 5f | 39 | 23 | e3 | 47 | cc | 03 | f9 | .šç˘, .-*_9#ăĚ. ů      |
| 00000070 | 9e | 27 | e4 | ef | aa | f2 | 59 | ca | c8 | c1 | eb | d9 | a3 | 65 | 88 | 90 | ž`adqñYĚČÁeŮLe.        |
| 00000080 | e8 | 03 | 00 | 00 | b7 | bc | a6 | 96 | 36 | 00 | 00 | 00 | 00 | 00 | 00 | 00 | č...`L `-6.....        |
| 00000090 | 80 | 00 | 00 | 00 | 00 | 00 | 00 | 00 | 80 | de | bc | 9c | 68 | f8 | 49 | 43 | €.....eTİšhřIC         |
| 000000a0 | d1 | 69 | 0d | 84 | 48 | 88 | 64 | 6a | dc | f2 | 16 | 09 | af | dd | ee | c9 | Ni.„HdjŮñ..žYîÉ        |
| 000000b0 | 4a | 04 | 31 | 5a | 26 | 0e | d6 | 3f | 8f | 08 | d2 | e0 | df | af | b9 | b6 | J.1Zε.Ō?.ŇřBžaq        |
| 000000c0 | cb | 45 | 1d | b6 | a1 | 2b | 5a | 26 | f1 | a4 | fa | 86 | 25 | 02 | 2a | 37 | EE.Ŧ`+Z&ñ=út%.*7       |
| 000000d0 | 10 | c2 | 8d | 3a | 57 | 9b | 74 | a2 | cf | fc | 7e | f0 | 81 | 12 | cd | bc | .Â.:w>t˘Đü~d.íL        |
| 000000e0 | 7f | 06 | fe | 75 | 94 | c2 | ca | 83 | e8 | e3 | 40 | 27 | c6 | 67 | 32 | c1 | ..țu“ĂĚčă@‘Ĉg2Ă        |
| 000000f0 | 54 | 01 | 12 | 27 | f6 | af | 02 | c3 | 28 | c9 | 0a | 28 | f7 | bd | 5b | 05 | T..’ôž.Ă(É.(+“[.       |
| 00000100 | d9 | 4b | a8 | 37 | fc | 5d | 36 | 3d | 63 | 23 | 63 | e0 | 2a | 0d | bf | 1f | ŮK“7ú]6=c#cr*.ž.       |
| 00000110 | a0 | f9 | b7 | f1 | 8f | 77 | 15 | fd | b1 | 13 | 83 | bf | ba | e3 | 20 | 1d | . ů.ñ.w.ýt.žšă .       |
| 00000120 | bd | 76 | 5e | 8e | 96 | e5 | 2b | fa | 1b | 81 | 09 | 89 | d0 | 2e | 97 | e9 | “v^ž-î+ú...Đ.-é        |
| 00000130 | 42 | c6 | cb | b4 | 63 | 5b | 79 | 7a | d5 | ed | ce | fc | 64 | e6 | f0 | cc | BČĚ`c[yzôïîudčĚ        |
| 00000140 | c7 | df | 2c | ff | 20 | 36 | 38 | 1d | 0b | b4 | 5e | 5b | bd | 42 | 4d | 6c | ČB,`68..’^["BML        |
| 00000150 | ca | e0 | 34 | 5f | 8d | 93 | 2e | a2 | 32 | 4c | a1 | ee | 2b | 12 | 41 | e8 | Ěř4“..˘2L˘î+.Ač        |
| 00000160 | 62 | b8 | 02 | a4 | 5f | 8f | 37 | 40 | 80 | 27 | 53 | 89 | 74 | 5e | 98 | d0 | b, . _ .7@e’s%t^ .Đ    |
| 00000170 | b9 | 2b | 4a | 4c | 7b | d0 | f5 | 29 | d0 | 38 | 8f | 2a | a7 | 63 | ef | 35 | ą+JL(Đó)Đ8.*šcd5       |
| 00000180 | 1a | 9c | e8 | f0 | 86 | f1 | ba | c6 | 88 | d8 | 29 | 90 | 2a | d1 | 66 | 73 | .ščđtńšČŘ).*Ňfs        |
| 00000190 | d7 | 25 | 1f | 3a | b8 | cb | 2d | 7a |    |    |    |    |    |    |    |    | *%.: ,Ě-z              |

Rys. 13. Zawartość pliku

Plik podzieliłem na następujące części.

TABELA 3

Podział pliku

| Nazwa części | Początek | Długość (bajty) |
|--------------|----------|-----------------|
| czesc_1      | 0x00     | 0x40            |
| czesc_2      | 0x40     | 0x80            |
| stopka       | 0x80     | 0x118           |

W dalszej części rozdziału będę używał funkcji  $RC4(k, ct)$ , gdzie  $k$  jest kluczem, a  $ct$  szyfrogramem. Klucz odczytany ze stopki będę oznaczał literą  $K$ .

Poniżej prezentuję kilka z przeprowadzonych prób odszyfrowania pliku.

TABELA 4

Wykorzystane schematy

| Schemat                                  | Opis   | Wynik                                       |
|--|--|---|
| $RC4(K, ct)$                             | Schemat działania zgodny z CryptXXX w wersji 2.                  | Nie udało się prawidłowo odszyfrować pliku. |
| $RC4(K \text{ xor } czesc\_1, czesc\_2)$ | Schemat, w którym klucz ma postać $K \text{ xor } czesc\_1$ .    | Nie udało się prawidłowo odszyfrować pliku. |
| $RC4(K \text{ xor } czesc\_2, czesc\_1)$ | Schemat, w którym klucz ma postać $K \text{ xor } czesc\_2$ .    | Nie udało się prawidłowo odszyfrować pliku. |
| $RC4(RC4(K, czesc\_2), czesc\_1)$        | Schemat, w którym klucz ma postać $RC4(K, czesc\_2)$ .           | Nie udało się prawidłowo odszyfrować pliku. |
| $RC4(RC4(K, czesc\_1), czesc\_2)$        | Schemat, w którym klucz ma postać $RC4(K, czesc\_1)$ .           | Nie udało się prawidłowo odszyfrować pliku. |
| $RC4(K    czesc\_1, czesc\_2)$           | Schemat, w którym klucz ma postać konkatencji $K$ i $czesc\_1$ . | Nie udało się prawidłowo odszyfrować pliku. |
| $RC4(K    czesc\_2, czesc\_1)$           | Schemat, w którym klucz ma postać konkatencji $K$ i $czesc\_2$ . | Nie udało się prawidłowo odszyfrować pliku. |
| $RC4(czesc\_1    K, czesc\_2)$           | Schemat, w którym klucz ma postać konkatencji $czesc\_1$ i $K$ . | Nie udało się prawidłowo odszyfrować pliku. |
| $RC4(czesc\_2    K, czesc\_1)$           | Schemat, w którym klucz ma postać konkatencji $czesc\_2$ i $K$ . | Nie udało się prawidłowo odszyfrować pliku. |

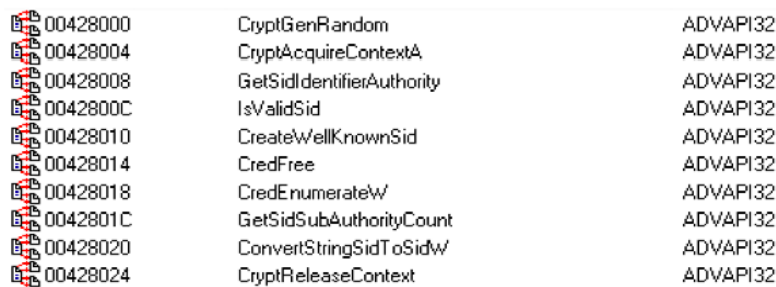
Niestety, żadna z podjętych prób odszyfrowania pliku nie zakończyła się powodzeniem. Aby osiągnąć sukces, musiałem poznać algorytm szyfrowania CryptXXX

w wersji 3. Podjąłem zatem decyzję o próbie odtworzenia algorytmu poprzez analizę postaci mnemonicznej wirusa CryptXXX w wersji 3.

## 2.6. Analiza wirusa

Analizę wirusa planowałem przeprowadzić w środowisku wirtualnym poprzez statyczną analizę kodu. W tym celu wykorzystałem posiadaną maszynę wirtualną z systemem operacyjnym Windows 7, pracującą pod kontrolą Virtual-Boxa. Do analizy kodu planowałem skorzystać z oprogramowania IDA. Miałem niestety jeden poważny problem — nie posiadałem kodu wirusa. Skorzystałem więc z forum internetowego na stronie <http://bleepingcomputer.com>. Znajduje się tam osobny wątek poświęcony wirusowi CryptXXX. Wirus w postaci pliku dll uzyskałem po około 12 godzinach od zamieszczenia prośby. Mogłem zatem przystąpić do analizy kodu.

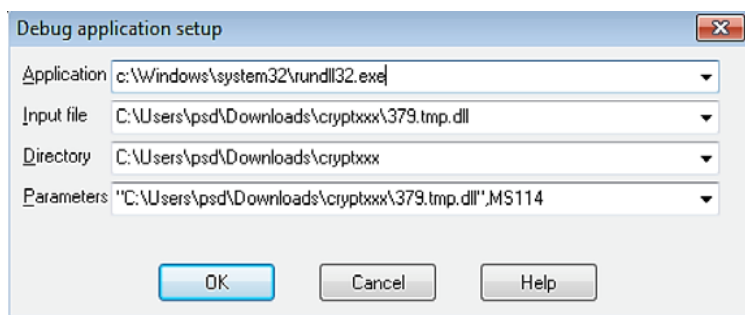
Analizę rozpocząłem od wygenerowania postaci mnemonicznej za pomocą narzędzia IDA. Program IDR już się do tego nie nadawał, gdyż wirus nie został napisany w języku Delphi. Pierwsze etapy analizy statycznej nie wykazały żadnych niepokojących elementów. Plik DLL nie wyglądał na złośliwe oprogramowanie, które potrafi szyfrować pliki na dyskach.



|          |                           |          |
|----------|---------------------------|----------|
| 00428000 | CryptGenRandom            | ADVAPI32 |
| 00428004 | CryptAcquireContextA      | ADVAPI32 |
| 00428008 | GetSidIdentifierAuthority | ADVAPI32 |
| 0042800C | IsValidSid                | ADVAPI32 |
| 00428010 | CreateWellKnownSid        | ADVAPI32 |
| 00428014 | CredFree                  | ADVAPI32 |
| 00428018 | CredEnumerateW            | ADVAPI32 |
| 0042801C | GetSidSubAuthorityCount   | ADVAPI32 |
| 00428020 | ConvertStringSidToSidW    | ADVAPI32 |
| 00428024 | CryptReleaseContext       | ADVAPI32 |

Rys. 14. Importy z pliku

W funkcjach importowanych przez wirusa z pliku advapi32.dll nie było np. funkcji CryptEncrypt, której użycia się spodziewałem do szyfrowania klucza wykorzystanego do szyfrowania pliku. Inną funkcją, której się spodziewałem, była funkcja CryptExportKey, za jej pomocą utworzona została opisywana przeze mnie wcześniej struktura PRIVATEKEYBLOB. Tej funkcji też nie było. W pierwszej chwili zacząłem się zastanawiać, czy mam do czynienia z prawidłowym plikiem wirusa CryptXXX — w końcu dostałem go od użytkownika z forum. Postanowiłem zrobić prosty test. Utworzyłem snapshota obecnego stanu mojej wirtualnej maszyny i uruchomiłem kod zawarty w pliku DLL za pomocą programu rundll32.exe. Punktem wejściowym do pliku DLL było wejście MS114. Proces utworzony został z poziomu IDA tak, aby zachować przynajmniej częściową kontrolę nad wirusem.



Rys. 15. Uruchomienie wirusa

Po chwilowym śledzeniu kodu wirusa postanowiłem pozwolić na wykonywanie instrukcji w trybie ciągłym. Po chwili większość plików uzyskała rozszerzenie crypt, a na pulpicie pojawił się plik tekstowy opisujący sposób na odszyfrowanie plików. Empirycznie zatem potwierdziłem, że posiadany przeze mnie plik DLL to rzeczywiście plik z wirusem. Odtworzyłem więc utworzony parę chwil wcześniej snapshot i rozpocząłem wszystko od początku, starając się prześledzić dokładne działanie wirusa.

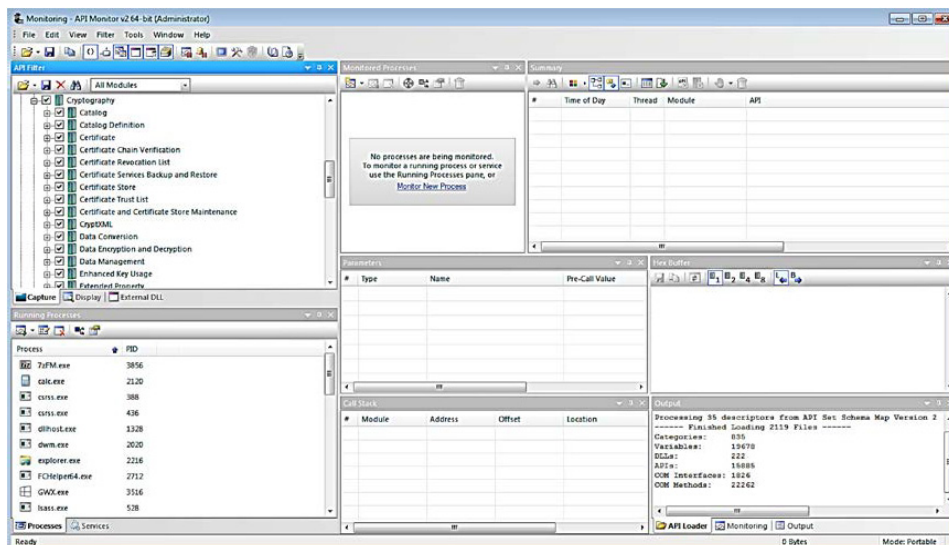
Kod wirusa był dużo trudniejszy do analizy niż kod deszyfratora. Wynikało to zapewne z użytych technik zaciemniania kodu. Kod wirusa zmieniał się podczas wykonywania, więc statyczna analiza nie była w stanie pokazać prawdziwego sposobu działania. Po kilku godzinach analiz wykonywanego kodu udało mi się ustalić, że wirus działa w następujący sposób:

1. Skopiowanie do folderu tymczasowego pliku rundll32.exe.
2. Zmiana nazwy pliku na svchost.exe.
3. Utworzenie nowego procesu (wywołanie z pliku kernel32.dll funkcji CreateProcessInternalW) w trybie uśpienia. Do procesu przekazane zostało polecenie `...\svchost.exe „.....\379.tmp.dll”,MS111`.
4. Modyfikacja wczytanego do pamięci kodu z pliku 379.tmp.dll.
5. Wznowienie utworzonego w punkcie 3 procesu.
6. Złośliwe działania takie jak np. szyfrowanie plików wykonywane są przez osobny proces utworzony w punkcie 3 i wznowiony w punkcie 5.

Niestety, zastosowane przeze mnie narzędzie (IDA) nie umożliwiała debugowania wielu procesów jednocześnie. Próby podłączania się do nowo utworzonego procesu nie przynosiły pożądanego efektów. Być może wynikało to z mojego stanu wiedzy — to mój pierwszy analizowany wirus. Jak się później okazało, po przeczytaniu kilku publikacji w Internecie, zastosowana technika tworzenia procesu w trybie uśpienia jest jedną z technik mających na celu uniemożliwienie/utrudnienie debugowania kodu wirusa. Potwierdzam — to było utrudnienie.

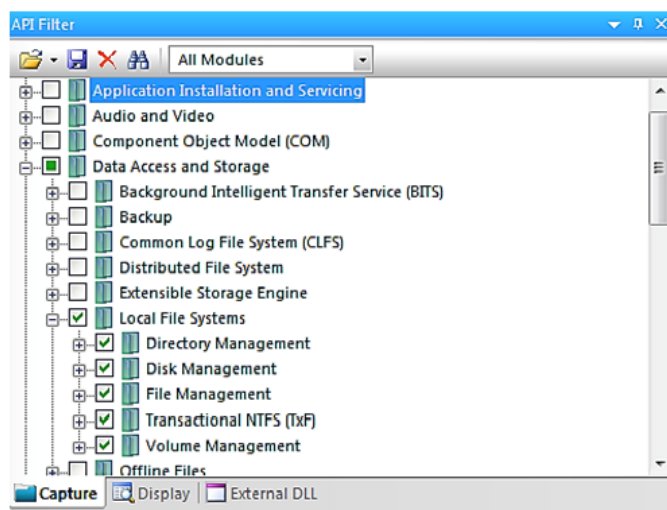
Przed wdrożeniem w życie poznanych właśnie technik debugowania takiego typu oprogramowania postanowiłem za pomocą programu APIMonitor prześledzić wywołania funkcji API systemu Windows, z których korzysta CryptXXX w wersji 3.

APIMonitor śledzi rzeczywiste, wykonane w trakcie działania wywołania API. Dodatkowo pokazuje wartości argumentów, z którymi wywołana została dana funkcja API.



Rys. 16. APIMonitor

Odtworzyłem więc snapshot, uruchomiłem APIMonitor i wskazałem zakres funkcji API, który chcę monitorować. Wybrałem funkcje z zakresu dostępu do plików lokalnych oraz z zakresu kryptografii.



Rys. 17. Dostęp do plików



Po wskazaniu w APIMonitor procesu, który zamierzałem monitorować, wznowiłem wykonywanie kodu wirusa w trybie ciągłym. Pliki na moim dysku zostały zaszyfrowane, a w APIMonitor pojawiło się wiele wpisów związanych z wywołanymi funkcjami API.

| #      | Time of Day     | Thread | Module       | API   | Return Value | Error      |
|--------|-----------------|--------|--------------|---|--------------|------------|
| 115255 | 10:59:42.622 PM | 2      | C034.tmp.dll | FindFirstFileW ("C:\Users\psd\Downloads\cryptbootsprawa.png", 0x0017b...      | 0x002bc388   |            |
| 115256 | 10:59:42.622 PM | 2      | C034.tmp.dll | FindClose (0x002bc388)  |              |            |
| 115257 | 10:59:42.622 PM | 2      | C034.tmp.dll | ReadFile (0x000002d, 0x02297010, 15725, 0x0017d538, NULL)                     | TRUE         |            |
| 115258 | 10:59:42.622 PM | 2      | C034.tmp.dll | CryptEncrypt (0x002bc208, NULL, TRUE, 0, NULL, 0x0017b28c, 0)                 | TRUE         |            |
| 115259 | 10:59:42.622 PM | 2      | C034.tmp.dll | CryptEncrypt (0x002bc208, NULL, TRUE, 0, 0x0017b51c, 0x0017b296, 176)         | TRUE         |            |
| 115260 | 10:59:42.622 PM | 2      | C034.tmp.dll | CryptEncrypt (0x002bc208, NULL, TRUE, 0, NULL, 0x0017b28c, 0)                 | TRUE         |            |
| 115261 | 10:59:42.622 PM | 2      | C034.tmp.dll | CryptEncrypt (0x002bc208, NULL, TRUE, 0, 0x0017b51c, 0x0017b290, 128)         | TRUE         |            |
| 115262 | 10:59:42.622 PM | 2      | C034.tmp.dll | SetFilePointerEx (0x000002d, { u = { LowPart = 0, HighPart = 0 }, QuadPart... | TRUE         |            |
| 115263 | 10:59:42.622 PM | 2      | C034.tmp.dll | WriteFile (0x000002d, 0x0229ad54, 15853, 0x0017d538, NULL)                    | TRUE         |            |
| 115264 | 10:59:42.622 PM | 2      | C034.tmp.dll | CryptAcquireContextA (0x0017b28c, NULL, "Microsoft Strong Cryptograph...      | TRUE         |            |
| 115265 | 10:59:42.622 PM | 2      | rsaenh.dll   | OpenThreadToken (GetCurrentThread, TOKEN_QUERY, TRUE, 0x0017b...              | FALSE        | 1008 = Wya |
| 115266 | 10:59:42.622 PM | 2      | rsaenh.dll   | OpenProcessToken (GetCurrentProcess, TOKEN_QUERY, 0x0017ab0d)                 | TRUE         |            |
| 115267 | 10:59:42.622 PM | 2      | rsaenh.dll   | GetTokenInformation (0x000002d, TokenUser, 0x0017abfd, 1024, 0x00...          | TRUE         |            |

Rys. 20. Odnotowane wywołania API

Dokładna analiza odnotowanych wywołań funkcji API pozwoliła na wyciągnięcie nowych wniosków:

1. CryptXXX w wersji 3 wywołuje funkcję CryptEncrypt (w tym przypadku jest to szyfrowanie RSA) dla różnych plików różną liczbę razy. Dokładniejsza analiza wykazała, że liczba wywołań funkcji CryptEncrypt jest bezpośrednio związana z rozmiarem szyfrowanego pliku.
2. Każde nowe wywołanie CryptEncrypt pojawia się raz na każde mniej więcej 0x2000 bajtów szyfrowanego pliku.
3. Minimalna liczba wywołań funkcji CryptEncrypt to 2. Jedno z tych wywołań służy do zaszyfrowania klucza dla algorytmu RC4.

Dzięki APIMonitor udało się zdobyć kolejne informacje związane z działaniem CryptXXX w wersji 3.

Łącząc uzyskane informacje związane z działaniem wirusa CryptXXX w wersji 3 z informacjami zdobytymi wcześniej, można wnioskować, że:

1. Algorytm szyfrowania został zmodyfikowany poprzez dodanie wywołania szyfrowania RSA raz na każde 0x2000 bajtów przetwarzanego pliku.
2. Wykorzystanie RSA do szyfrowania fragmentu danych pliku tłumaczy przyrost długości szyfrogramu o 0x40 bajtów dla każdego 0x2000 bajtów tekstu jawnego — szyfrując 0x40 bajtów algorytmem RSA (moduł 1024 bity) z dopełnieniem PKCS#1, otrzymujemy szyfrogram o długości 0x80 bajtów.

Otwartą kwestią pozostawało pytanie, czy w dalszym ciągu CryptXXX korzystał z algorytmu RC4. Jeżeli nie, to należałoby wrócić do procesu debugowania kodu wirusa.

## 2.7. Własne oprogramowanie do odszyfrowania

Zaobserwowane powyżej zachowanie zostało przetestowane w aplikacji Java. W pierwszej kolejności algorytm RSA użyty został do odszyfrowania pierwszych 0x80 bajtów zaszyfrowanego pliku. Odszyfrowywanie przebiegło pomyślnie i pozwoliło odzyskać pierwszy fragment pliku. Następnie spróbowałem odszyfrować pozostałą część pliku za pomocą algorytmu RC4. Udało się odzyskać kolejne 0x1FFF bajtów. Następne bajty były nieprawidłowe. Spróbowałem więc kolejne 0x80 bajtów odszyfrować algorytmem RSA. Udało się — bajty zostały odzyskane. Poprzez powtarzanie tego schematu udało się odzyskać całą zawartość pliku.

W następnej kolejności napisałem oprogramowanie, które przeszukuje dysk twardy w poszukiwaniu plików z rozszerzeniem „crypt” i je deszyfruje. Oprogramowanie z powodzeniem zostało wykorzystane przez znajomego, którego zaatakował CryptXXX w wersji 3.

## 3. Podsumowanie

### 3.1. Jak zatem działał CryptXXX w wersji 3

W trakcie odszyfrowywania okazało się, że klucz do algorytmu RC4 jest wielokrotnie używany dla różnych plików. Działo się tak w większości przypadków, w których pola stopki B oraz I były identyczne. Stanowiło to bardzo poważną słabość mechanizmu szyfrowania plików. Poniższa tabela przedstawia klucz szyfrowania dla przykładowych plików posiadających te same wartości w polach stopki B oraz I.

TABELA 5

Wartość pola stopki B oraz I

| Pole stopki | Wartość (bajty)   |
|-------------|---|
| B           | 0x49 0x58 0x4a 0x28   |
| I           | 0x02 0x00 0x00 0x40 0x71 0x61 0x00 0xc8 0xbf 0x58 0x00 0x09 0x1a 0xfe 0xb6<br>0x00 0x00 0x00 0x00 0xc6 0xda 0x2b 0x4e 0x95 0x00 0x00 0x00 0x2a 0x01 0x2c<br>0x01 0xcc 0x09 0x64 0x00 0xfe 0xff 0xff 0x02 0x00 0x00 0x00 0x00 0x00 0x00<br>0x00 0x2a 0x01 0x00 0x00 0x00 0x00 0x00 0x00 0x2a 0x01 0x00 0x00 0x22 0x8f<br>0x25 0x00 0xcc 0x09 0x64 0x00 0x74 0x40 0xb0 0x01 0x2a 0x01 0x08 0x02 0xf8<br>0x8d 0x25 0x00 0xf6 0x0a 0x64 0x00 0x00 0x00 0x00 0x00 0x00 0x00 0x00 0x00<br>0x00 0x00 0x00 0x00 0xc3 0x53 0x5f 0x00 0x03 0x00 0x00 0x00 0x2a 0x01 0x00<br>0x00 0x48 0x8c 0x25 0x00 0xa8 0xa0 0x35 0x8f 0x9f 0xf3 0xeb 0x7b 0xfc 0x8c 0x25<br>0x00 0x20 0xf2 0x62 0x00 |



TABELA 6

Przykładowe pliki posiadające taką samą wartość pola stopki B oraz I

| Typ pliku | Wartość pola stopki C | Wartość pola stopki E | Klucz szyfrujący dla algorytmu RC4                                  |
|-----------|-----------------------|-----------------------|---|
| ASPX      | 0x9b                  | 0xdb                  | XRK2K:[Y”HGdYX\$Ri!k>(JXICA06QDp^OoT<y336cY*\$ELx^PqNeP%e1&:3~C\$+7 |
| ASPX      | 0x84                  | 0xc4                  | `p1I)O@tOaFWs@Q?_~CNbz!RR5\$c)_26D”SUFY,RXxKRIP_hXyz^Kl8d^(?mQBvf   |
| ASPX      | 0xad                  | 0xed                  | `p1I)O@tOaFWs@Q?_~CNbz!RR5\$c)_26D”SUFY,RXxKRIP_hXyz^Kl8d^(?mQBvf   |
| ASPX      | 0xa5                  | 0xe5                  | `p1I)O@tOaFWs@Q?_~CNbz!RR5\$c)_26D”SUFY,RXxKRIP_hXyz^Kl8d^(?mQBvf   |
| ASPX      | 0x9e                  | 0xd9                  | O]ls`YWXD&j6HjENP!MJ9TI(3~P*g%>D~X@_”1ZBs:U”(8oD[kVc_XW%UM4yP’;     |
| ASPX      | 0x9a                  | 0xda                  | O]ls`YWXD&j6HjENP!MJ9TI(3~P*g%>D~X@_”1ZBs:U”(8oD[kVc_XW%UM4yP’;     |
| ASPX      | 0xa9                  | 0xe9                  | O]ls`YWXD&j6HjENP!MJ9TI(3~P*g%>D~X@_”1ZBs:U”(8oD[kVc_XW%UM4yP’;     |
| ASPX      | 0xa5                  | 0xe5                  | O]ls`YWXD&j6HjENP!MJ9TI(3~P*g%>D~X@_”1ZBs:U”(8oD[kVc_XW%UM4yP’;     |
| ASPX      | 0xad                  | 0xe5d                 | lK&?[mxZ%@KMN?FiQ~<F,[L^hVqBFLOfE+7;oQnmk!OltmF%BdJA/nGM`KX;<QJ9    |
| ASPX      | 0x94                  | 0xd4                  | lK&?[mxZ%@KMN?FiQ~<F,[L^hVqBFLOfE+7;oQnmk!OltmF%BdJA/nGM`KX;<QJ9    |
| ASPX      | 0xaf                  | 0xef                  | lK&?[mxZ%@KMN?FiQ~<F,[L^hVqBFLOfE+7;oQnmk!OltmF%BdJA/nGM`KX;<QJ9    |
| ASPX      | 0x8f                  | 0xcf                  | lK&?[mxZ%@KMN?FiQ~<F,[L^hVqBFLOfE+7;oQnmk!OltmF%BdJA/nGM`KX;<QJ9    |
| ASPX      | 0x9f                  | 0xdf                  | lK&?[mxZ%@KMN?FiQ~<F,[L^hVqBFLOfE+7;oQnmk!OltmF%BdJA/nGM`KX;<QJ9    |
| ASPX      | 0x9c                  | 0xdc                  | _ZB&R<^^)DCL<JGeS/?Yw3)bu.Z*aE\$\$@gS_B/qxCZBsFD<HkF9(R7F!”)J,1,Br  |
| ASPX      | 0x8f                  | 0xcf                  | _ZB&R<^^)DCL<JGeS/?Yw3)bu.Z*aE\$\$@gS_B/qxCZBsFD<HkF9(R7F!”)J,1,Br  |
| ASPX      | 0xad                  | 0xed                  | _ZB&R<^^)DCL<JGeS/?Yw3)bu.Z*aE\$\$@gS_B/qxCZBsFD<HkF9(R7F!”)J,1,Br  |
| ASPX      | 0x93                  | 0xd3                  | _ZB&R<^^)DCL<JGeS/?Yw3)bu.Z*aE\$\$@gS_B/qxCZBsFD<HkF9(R7F!”)J,1,Br  |
| ASPX      | 0xa1                  | 0xe1                  | _ZB&R<^^)DCL<JGeS/?Yw3)bu.Z*aE\$\$@gS_B/qxCZBsFD<HkF9(R7F!”)J,1,Br  |
| ASPX      | 0x7f                  | 0xb7                  | oM(PMys%KOCT%>M:w0/E`+yz`F[V!8>&&pB&R5bPL7q*!T,o<cS?W\$\$*..)d[Zix  |

cd. tabeli 6

|      |      |      |  |
|------|------|------|--|
| ASPX | 0x91 | 0xd1 | oM(PMys%KOCt%>M:w0/E`+yz`F[V!8>&&pB&R5bPL7q*!T,o<cS?W\$\$*.])d[Zix |
| ASPX | 0xa4 | 0xe4 | oM(PMys%KOCt%>M:w0/E`+yz`F[V!8>&&pB&R5bPL7q*!T,o<cS?W\$\$*.])d[Zix |
| ASPX | 0xa6 | 0xe6 | oM(PMys%KOCt%>M:w0/E`+yz`F[V!8>&&pB&R5bPL7q*!T,o<cS?W\$\$*.])d[Zix |

Podsumowując powyższe tabele, na 22 pliki posiadające takie same wartości w polach stopki B oraz I:

- cztery pliki zaszyfrowano kluczem:  
oM(PMys%KOCt%>M:w0/E`+yz`F[V!8>&&pB&R5bPL7q\*!T,o<cS?W\$\$\*.])d[Zix
- pięć plików zaszyfrowano kluczem:  
\_ZB&R<^^)DCL<JGeS/?Yw3)bu.Z\*%aE\$\$@gS\_B/qxCZBsFD<HkF9(R-7F!)J,1,Br
- pięć plików zaszyfrowano kluczem:  
lK&?[mxZ%@KMN?FiQ~<F,[L^hVqBFLOfE+7;oQnmk!OltmF%BdJA/nGM`KX;<QJ9
- cztery pliki zaszyfrowano kluczem:  
O]ls`YWXD&j6HjENP!MJ9TI(3~P\*g%>D~X@\_Q"1ZBs:U"(8oD[kVc\_XW%UM4yP`;
- trzy pliki zaszyfrowano kluczem:  
`p1I)O@tOaFWs@Q?\_~CNbz!RR5\$c)\_26D"SUfY,RXxKRIP\_hXyz^Kl-8d^(?mQBvf
- jeden plik zaszyfrowano kluczem:  
XRK2K:[Y"HGdYX\$Ri!k>(JXICA06QDp^OoT<y336cY\*\$ELx^PqNeP%e1&:3~C\$+7

Reasumując, tylko jeden plik z 22 posiadających taką samą wartość pola stopki B oraz I miał inny klucz. Dla pozostałych użyty klucz powtarzał się co najmniej trzy razy. Dalsza analiza wykazała istnienie innego pliku również zaszyfrowanego kluczem: XRK2K:[Y"HGdYX\$Ri!k>(JXICA06QDp^OoT<y336cY\*\$ELx^PqNeP%e1&:3~C\$+7. Plik ten miał inną wartość pola stopki B i I.

Na bazie przeprowadzonej analizy udało się ustalić algorytm szyfrowania plików przez wirusa CryptXXX w wersji 3. Algorytm składa się z następujących kroków:

1. Tworzona jest para kluczy RSA (klucz prywatny, klucz publiczny).
2. Dla każdego szyfrowanego pliku:
  - 2.1. Tworzony (wykorzystywany istniejący) jest 0x40-bajtowy klucz dla algorytmu RC4. Każdy bajt to jeden ze znaków ASCII. Klucz ten zostaje użyty to inicjalizacji algorytmu RC4.

- 2.2. Plik dzielony jest na bloki o długości 0x20CF bajtów. Bloki o długości mniejszej niż 0x40 bajtów dopełniane są do 0x40 bajtów. Minimalna dopuszczalna długość przetwarzanego bloku to 0x40 bajtów. Każde pierwsze 0x40 bajtów bloku szyfrowane jest algorytmem RSA. Wszystkie kolejne bajty w bloku szyfrowane są algorytmem RC4. Operacja ta jest powtarzana aż do przetworzenia wszystkich danych w pliku.
- 2.3. Szyfrowany algorytmem RSA jest klucz z punktu 2.1. Tworzona jest stopka zawierająca 0x118 bajtów. Zasyfrowany klucz umieszczany jest w polu G stopki. Stopka doklejana jest do końca pliku. Format stopki został opisany w jednym z poprzednich rozdziałów.

Dodatkowo, wirus CryptXXX w wersji 3 robi inne szkodliwe rzeczy, takie jak np. kradzież bitcoinów z dysku użytkownika. Inne czynności nie stanowiły jednak tematu artykułu, więc nie zajmowałem się ich analizą.

### 3.2. Czy wersja 4 może być lepsza?

Analizowany przeze mnie wirus CryptXXX w wersji 3 posiada wiele wad w utworzonych mechanizmach kryptograficznych. Prawidłowe zastosowanie używanych prymitywów kryptograficznych (RC4, RSA) zmniejszyłoby prawdopodobieństwo odzyskania (bez znajomości klucza) nawet części pliku praktycznie do 0.

Jakie zatem są minimalne wymagane zmiany, aby udoskonalić CryptXXX?

1. Każdy plik należy szyfrować innym kluczem (RC4).
2. Klucz powinien mieć bajty z pełnego zakresu (od 0x00 do 0xFF). Używanie bajtów tylko z zakresu znaków ASCII powoduje osłabienie mocy klucza o 1 bit na każdy 1 bajt.
3. Dane dla RC4 powinny stanowić pojedynczy ciąg bajtów, a nie bloki po 0x1FFF bajtów. Rozpoczynanie szyfrowania zawsze od indeksu 0 dla kolejnych bloków wprowadza dodatkową podatność do mechanizmu szyfrowania.

Jakie są zalecenie dla kolejnych wersji?

1. Zamiana algorytmu RC4 na szyfr blokowy, np. AES.
2. W szyfrowaniu treści pliku należy zrezygnować z algorytmu RSA.
3. Każdy plik należy szyfrować innym kluczem o długości 0x20 bajtów.
4. Dla każdego pliku należy wygenerować inny wektor IV o długości 0x10 bajtów.
5. Całą zawartość pliku należy zasyfrować algorytmem AES w trybie np. CBC z kluczem o długości 0x20 bajtów i wektorem IV o długości 0x10 bajtów.
6. Klucz użyty w algorytmie AES należy zasyfrować i dokleić do zasyfrowanego pliku. Do szyfrowania można użyć algorytmu RSA z dopełnieniem PKCS#1 w wersji 1.5 albo OAEP. Jeżeli zależy nam na większym bezpieczeństwie, należy skorzystać z algorytmów opartych o krzywe eliptyczne.

### 3.3. Odszyfrowanie plików bez znajomości klucza RSA?

Z uwagi na istniejące poważne błędy w mechanizmie szyfrowania plików związane np. z nieprawidłowym wykorzystaniem prymitywów kryptograficznych (w szczególności RC4), możliwe wydaje się być odszyfrowanie części zawartości zaszyfrowanej algorytmem RC4. Wynika to faktu, że na każde 0x203F bajtów pliku oryginalnego 0x40 zaszyfrowane jest algorytmem RSA, a 0x1FFF algorytmem RC4. Odszyfrowanie częściowe pliku będzie możliwe gdy:

1. Istnieje inny zaszyfrowany tym samym kluczem RC4 plik;
2. Rozmiar zaszyfrowanego pliku z punktu 1 jest nie mniejszy niż rozmiar odszyfrowywanego pliku.

Te warunki powinny być wystarczające do podjęcia próby odszyfrowania części pliku. Aby odszyfrować całą zawartość pliku, potrzebujemy uzyskać dostęp do klucza prywatnego RSA.

### 3.4. Jak się bronić?

Korzystanie z programów antywirusowych niewiele pomaga, jeżeli jesteśmy jednymi z pierwszych ofiar wirusa. Gdy na dysku pojawią się pliki informujące o sobie odszyfrowania, jest już za późno na reakcję — dane zostały zaszyfrowane. Jak w takim razie się bronić? Polecam skorzystanie z co najmniej jednej z poniższych rad:

1. Przestać korzystać z systemu Windows.
2. Regularnie tworzyć kopie bezpieczeństwa. Ta metoda powinna pomóc do czasu udoskonalenia wirusa, który może w trybie uśpienia działać przez wiele dni i uszkadzać (szyfrować) dane podczas tworzenia kopii zapasowej. W związku z tym do tworzenia kopii polecam narzędzia działające w oparciu o dystrybucje Linuxa, np. w trybie Live-CD. W takim przypadku nawet wirus w trybie uśpionym nie będzie w stanie uszkodzić tworzonej kopii bezpieczeństwa.
3. Wyłączenie rozszerzonego trybu ochrony w systemie Windows poprzez zastosowanie restrykcyjnych polityk, np. związanych z uruchamianiem plików exe z folderów tymczasowych. Ta metoda powinna pomóc do czasu udoskonalenia wirusa, który z powodzeniem może ominąć wprowadzone polityki bezpieczeństwa.
4. Wyłączenie wtyczek typu Adobe Flash Player w przeglądarkach internetowych, regularna aktualizacja systemu operacyjnego, regularna aktualizacja programu antywirusowego. Ta metoda daje nam tylko częściowe bezpieczeństwo. Nie jesteśmy odporni na nowe wirusy oraz exploity korzystające z nowych luk w systemie operacyjnym i oprogramowaniu dodatkowym.
5. Uważne korzystanie z programu pocztowego oraz zasobów sieci Internet.

Źródło finansowania — działalność statutowa Instytutu Matematyki i Kryptologii WAT.

Artykuł wpłynął do redakcji 28.10.2016 r. Zweryfikowaną wersję po recenzjach otrzymano 14.11.2016 r.

#### LITERATURA

- [1] SERGE VAUDENAY, *A classical introduction to cryptography*, Applications for Communications Security, Springer, 2006.
- [2] [www.wikipedia.org](http://www.wikipedia.org), stan aktualny w drugiej połowie maja 2016.
- [3] <http://bleepingcomputer.com>, stan aktualny w drugiej połowie maja 2016.
- [4] <https://www.hex-rays.com>, stan aktualny w drugiej połowie maja 2016.
- [5] <https://www.virustotal.com>, stan aktualny w drugiej połowie maja 2016.
- [6] <http://www.rohitab.com/apimonitor>, stan aktualny w drugiej połowie maja 2016.
- [7] <http://kpnc.org/idr32/en/>, stan aktualny w drugiej połowie maja 2016.

M. GLET

#### **Analysis of cryptographic mechanisms used in ransomware CryptXXX v3**

**Abstract.** The main purpose of this paper was to analysis how malicious software is using cryptographic mechanisms. Reverse engineering were applied in order to discover mechanisms used in ransomware CryptXXX v3. At the end were given some useful advices how to improve CryptXXX.

**Keyword:** ransomware, software engineering, reverse engineering, RC4, RSA, malicious software

**DOI:** 10.5604/12345865.1228958

